

**СУЩЕСТВОВАНИЕ ОБЛАСТЕЙ СО СВЕРХСТРУКТУРОЙ
В КРИСТАЛЛИЧЕСКОЙ РЕШЕТКЕ
ТВЕРДОГО РАСТВОРА $(\text{CaF}_2)_{1-x}(\text{ErF}_3)_x$ ПРИ $x \geq 0,001$**

С.А.Казанский

Проблема кластериования редкоземельных ионов Er^{3+} в кристаллах CaF_2 , решена с помощью метода оптически детектируемого ЭПР. Показано, что при концентрации Er более 0,1 мол.% наблюдается встраивание в решетку CaF_2 новой кристаллической фазы с высоким содержанием Er , с тетрагональной симметрией и фактором $g_{||} \approx 15,5 >> g_{\perp}$ иона Er^{3+} в этой фазе.

Известно, что CaF_2 образует непрерывные твердые растворы с трифторидами редких земель (РЗ) и изоморфными им соединениям YF_3 в широкой области составов¹. С другой стороны, при изучении оптических спектров CaF_2 , активированных РЗ ионами, обнаружено², что при увеличении концентрации РЗ ионов выше 0,1 мол.% спектры существенно перестраиваются. Это явление приписано образованию кластеров, или *D*-центров, содержащих РЗ ионы. Однако, структура кластеров неизвестна несмотря на то, что к их изучению привлекались методы лазерной селективной спектроскопии², рассеяния нейтронов³ и ЯМР⁴. Спектры ЭПР кластеров до сих пор не наблюдались и об их магнитных свойствах ничего не было известно. Например, в спектрах ЭПР "классической" системы $\text{CaF}_2 : \text{Er}^{3+}$ наблюдаются² лишь статистически распределенные в решетке CaF_2 простые кубические (Cub) с нелокальной компенсацией, а также тетрагональные *A*- и тригональные *B*-центры с локальной компенсацией заряда: $\text{Er}^{3+} - \text{F}^-$.

С целью изучения парамагнетизма кластеров нами был исследован магнитный циркулярный дихроизм (МЦД) – разность ΔX коэффициента поглощения образца, помещенного в магнитное поле H_0 , для света левой и правой циркулярной поляризации⁵ – в полосах поглощения кристаллов $(\text{CaF}_2)_{1-x}(\text{ErF}_3)_x$ и при изоморфном замещении большей части Er на диамагнитный Y , т. е. твердые растворы $(\text{CaF}_2)_{1-x-y}(\text{ErF}_3)_x(\text{YF}_3)_y$, при $x \ll y$, обозначаемые ниже как $\text{CaF}_2 : \text{Er}_x \text{Y}_y$. На рис. 1 представлены спектры МЦД этих твердых растворов в области перехода $^4I_{15/2} \rightarrow ^4F_{5/2}$ в ионе Er^{3+} и дана их идентификация по². Отметим, что спектральная зависимость МЦД близко соответствует спектру поглощения (на рисунке не представлен). Это позволяет по рис. 1 проследить относительное изменение концентраций разных центров¹⁾ при изменении x и y . Отсюда имеем новый нетривиальный результат: для преобладания кластерных *D*-центров важна суммарная концентрация x и y , т. е. величина $x+y$. Заметим, что ранее⁶ изучалось влияние добавки Y на "перестройку" оптических спектров парных *C*-центров: $(\text{Er} - \text{Er}) \rightarrow (\text{Er} - \text{Y})$.

¹⁾ За исключением кубических центров, не проявляющихся в оптических спектрах. Эти центры образуют ~ 50% ионов Er^{3+} , внедренных в CaF_2 , при $x > 0,001$ ².

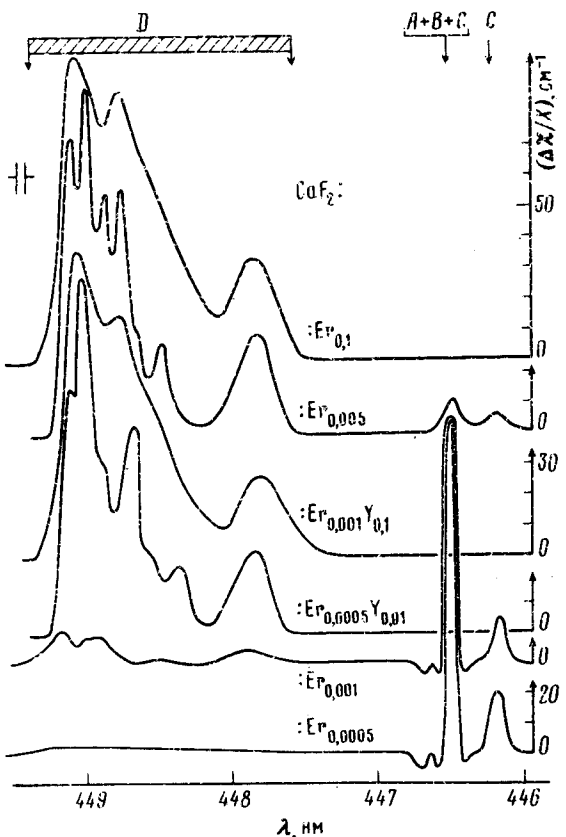


Рис. 1. Спектры МЦД $\text{CaF}_2 : \text{Er}_{x}^{3+} \text{Y}_{y}^{3+}$,
 $H_0 \approx 3 \text{ кГс}$, $T = 1,8 \text{ К}$

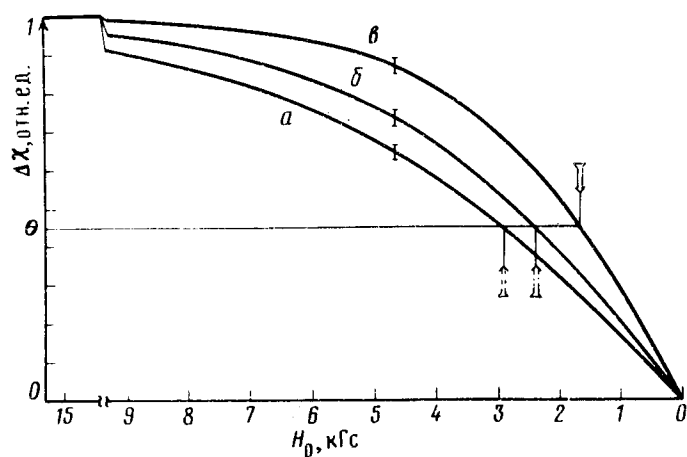


Рис. 2. Зависимость МЦД ($\lambda = 449 \pm 0,3 \text{ нм}$) от H_0 для
 $\text{CaF}_2 : \text{Er}_x^{3+} \text{Y}_y^{3+}$ при $0,002 < x+y < 0,02$ в ориентации
 $H_0 \parallel$ а) C_3 ; б) C_2 ; в) C_4 . $\theta = \text{th}(hv/2kT) = 0,45$, $T = 1,8 \text{ К}$

Полевая зависимость МЦД в полосах поглощения D -центров (рис. 2) имеет вид зависимости с насыщением: $\Delta\chi(H_0) = \Delta\chi_{\max} \text{th}(g\beta H_0 / 2kT)$ с четкой ориентационной зависимостью, что однозначно указывает на 1) парамагнитную природу МЦД⁵ и 2) на тетрагональную симметрию ионов Er^{3+} , содержащихся в кластерах, с фактором $g_{\parallel} = 15,5 \pm 1 \gg g_{\perp}$. Для дальнейшего очень важен тот факт, что зависимость $\Delta\chi(H_0)$ не зависит от соотношения x и y , т. е. от разбавления $\text{Er} \rightarrow \text{Y}$ при $0,002 \leq x+y \leq 0,02$, см. рис. 2.

При регистрации изменений МЦД $\Delta(\Delta\chi)$ при включении высокочастотного ($\nu = 37 \text{ ГГц}$) поля, т. е. по обычной методике оптического детектирования (ОД), имеющей ряд преимуществ⁵ по сравнению с традиционными методами, были изучены и идентифицированы спектры ЭПР кристаллов $\text{CaF}_2 : \text{Er}_x \text{Y}_y$, см. рис. 3. Отметим основной результат: D -центрар

$\text{CaF}_2 : \text{Er}_x$ в спектре ЭПР соответствует широкое фоновое поглощение (заштриховано на рис. 3), которое, однако, "сжимается" в линию в образцах $\text{CaF}_2 : \text{Er}_x \text{Y}_y (x \ll y)$, причем положение этой линии, зависящее от ориентации \mathbf{H}_0 относительно осей кристалла C_1 , в точности соответствует ожидаемому из анализа зависимости МЦД от H_0 (на рис. 2 указано стрелками) ²⁾. Отсюда следует вывод: D-центры в образцах $\text{CaF}_2 : \text{Er}_x$ соответствуют встраиванию в решетку CaF_2 новой кристаллической фазы с высоким (10 – 100 мол.%) содержанием РЗ ионов, причем разбавление $\text{Er} \rightarrow \text{Y}$ в этой магнитно-концентрированной фазе приводит к сужению спектра ЭПР без изменения его экстремума, как это следует из рис. 2. При $x \ll y$ ионы Er^{3+} являются как бы зондом в Y-фазе, имеют высокую тетрагональную симметрию и, по-видимому, рекордный для Er^{3+} фактор $g_{\parallel} \approx 15,5 \gg g_{\perp}$.

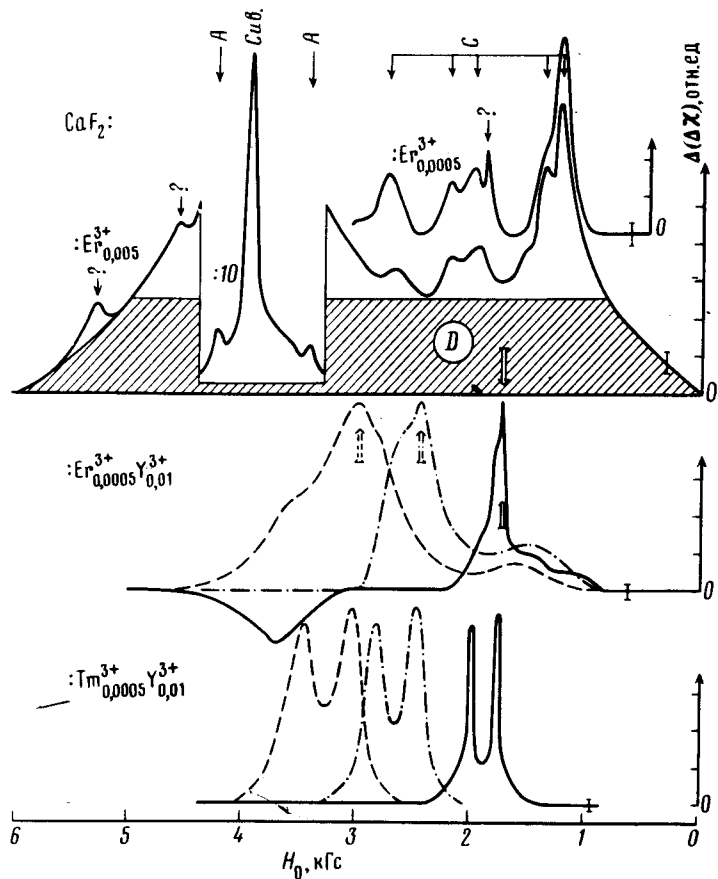


Рис. 3. Спектры ОД ЭПР $\text{CaF}_2 :$
: $(\text{РЗ})^{3+} \text{Y}^{3+}$ в ориентации
 $\mathbf{H}_0 \parallel C_4$ (сплошная линия), C_3
(пунктир) и C_2 (штрихпунктир)

Полученные экспериментальные данные свидетельствуют о том, что в Y-, РЗ-, или смешанной фазе при $x + y \leq 0,02$ проявляются только изоморфные тетрагональные центры Er^{3+} . Эти же центры, как оказалось, доминируют в CaF_2 и при $x + y = 0.1$. Для аналогичных концентрированных твердых растворов в ¹ с помощью рентгенографического анализа было установлено существование сверхструктурных флюоритовых фаз, представляющих собой ², периодически расположенные в решетке CaF_2 октаэдры из 6 РЗ ионов, окруженных 12 меж-

²⁾

Заметим, что линии ЭПР C-центров ($\text{Er} - \text{Er}$) в образцах с Y при $x \ll y$, очевидно, должны отсутствовать. Как видно из рис. 1 при $y = 0,01$ не наблюдаются даже более вероятные C-центры ($\text{Er} - \text{Y}$).

доузельными ионами F^- . Локальная симметрия РЗ ионов в сверхструктуре, по-видимому, тетрагональная, что позволяет отождествить ее с наблюдаемой в настоящей работе РЗ- (и Y)-фазой. Важно, что в наших опытах существование сверхструктуры проявляется уже при концентрации $x+y \geq 0,001$. При столь малой концентрации активатора сверхструктура, очевидно, должна занимать ограниченные области, т. е. образовывать "зерна" в кристаллической решетке CaF_2 ³⁾.

Очень похожими оказались результаты исследования кристаллов $\text{CaF}_2 : \text{Tm}_{x}^{3+} \text{Y}_y^{3+}$. В кристаллах $\text{CaF}_2 : \text{Tm}_{x}^{3+}$ в спектре ЭПР кластерных D -центров наблюдалась широкая полоса поглощения, которая сужалась при разбавлении $\text{Tm} \rightarrow \text{Y}$. При таком разбавлении половая зависимость МЦД, измеряемого в полосах поглощения кластеров Tm^{3+} , оставалась неизменной. Оказалось, что ионы Tm^{3+} также образуют тетрагональные центры как в РЗ-, так и в Y-фазе с предельно возможным для основного состояния Tm^{3+} фактором $g_{\parallel} \approx 14$ ($g_{\perp} = 0$)⁷. Спектр ОД ЭПР иона Tm^{3+} в Y-фазе приведен на рис. 3. Обращает на себя внимание характерная дублетная структура, обязанная сверхтонкому взаимодействию электронного спина Tm^{3+} с ядерным спином $I(\text{Tm}^{169}) = 1/2$. Отметим, что ЭПР ионов Tm^{3+} конфигурации $4f^{12}$ с четным числом электронов ранее не наблюдался и в настоящем случае обязан, по-видимому, аномальному знаку константы кристаллического потенциала $A_2^0 < 0$ ⁷ для РЗ иона в сверхструктуре.

В заключение отметим, что сделанные выводы о существовании "зерен" сверхструктуры в кристаллах CaF_2 , активированных РЗ ионами, позволяют объяснить некоторые наблюдавшиеся ранее аномалии, а именно: 1) "высокотемпературный" пик $T = 0,8\text{ K}$ в исследованиях магнитной восприимчивости дипольного спинового стекла в системе $\text{CaF}_2 : \text{Er}^{3+}$ ⁸; 2) деполяризацию ядер F^{19} в кристаллах $\text{CaF}_2 : \text{Tm}$ в условиях низкочастотной модуляции постоянного магнитного поля при отсутствии прямого теплового контакта между ядерной подсистемой и электронным спин-спиновым резервуаром⁹.

Автор благодарит В.А.Ацаркина за интерес к работе.

Литература

1. Leichtenböhmer C., Greis O. J. Less-Common Metals, 1978, **61**, 177.
2. Moore D.S., Wright J.C. J. Chem. Phys., 1981, **74**, 1626.
3. Cheetman H.J. J. Phys. C, 1971, **4**, 3107.
4. Booth R.J., Mc Garvey B.R. Phys. Rev. B, 1980, **21**, 1627.
5. Geshwind S. In Electron Paramagnetic Resonance, ed. by S. Geshwind, Plenum Press, N. Y., L., 1972; p. 353.
6. Батыгов С.Х., Воронько Ю.К., Гайгерова Л.С., Федоров В.С. Оптика и спектроскопия, 1973, **35**, 868.
7. Абрагам А., Блини Б. Электронный парамагнитный резонанс переходных ионов, т. 1, М.: Мир, 1972; гл. 5.
8. Ацаркин В.А., Демидов В.В., Хлебников С.Я. Письма в ЖЭТФ, 1980, **32**, 461.
9. Казанский С.А., Ацаркин В.А. ЖЭТФ, 1983, **84**, 2306.

Государственный оптический институт
им. С.И. Вавилова

Поступила в редакцию
26 августа 1983 г.

³⁾ По предварительным данным, оказались успешными попытки обнаружения "зерен" РЗ-фазы прямыми методами: локальным рентгено-спектральным анализом и электронным зондом. В $\text{CaF}_2 : \text{Er}_{0,005}$ обнаружены "зерна" размером $\sim 1 \text{ мкм}$ и содержанием Er 10 – 100 мол. %.